

УДК 681.3.01 : 621.384.8

Определение точных масс ионов в масс-спектре высокого разрешения. Е. В. Ланин — В кн.: Научное приборостроение. Теоретические и экспериментальные исследования. Л.: Наука, 1984, с. 27—33.

Рассматривается проблема высокоточного определения масс ионов в масс-спектре высокого разрешения путем экстраполяции и интерполяции закона развертки. Приводятся результаты исследования развертки масс-спектрометра МХ1310. Обосновывается выбор вида и степени аппроксимирующего полинома. Приводятся результаты обработки спектров и вычисления точных масс по прилагаемому алгоритму. Рассматриваются пути повышения точности в процедуре экстраполяции посредством прогнозирования ошибки вычисления, обусловленной случайными шумами, на основе модели авторегрессии. Параметры авторегрессии выражаются через значения автокорреляционной функции, вычисленной по значениям ряда ошибок. Лит. — 5 наз., ил. — 4, табл. — 2.

## ОПРЕДЕЛЕНИЕ ТОЧНЫХ МАСС ИОНОВ В МАСС-СПЕКТРЕ ВЫСОКОГО РАЗРЕШЕНИЯ

Электронные устройства масс-спектрометров высокого разрешения обычно позволяют автономно определить массу с относительной погрешностью не больше  $(1 \div 3) \cdot 10^{-6}$  лишь для небольшого числа ионов в спектре, так как измерения производятся для дублета на участке, где  $\Delta M/M \leqslant 10\%$ , причем эти измерения требуют значительной затраты времени.

Использование вычислительных средств открывает возможность высокоточного определения масс всех ионов в масс-спектре высокого разрешения путем экстраполяции и интерполяции закона развертки [1].

Методика измерения массовых чисел состоит в напуске в масс-спектрометр вместе с исследуемым веществом калибровочного соединения (фтороуглеводородов), масс-спектр которого известен заранее. В начале эксперимента одновременно с запуском развертки масс-спектрометра включается подача сигналов от стабильного генератора импульсов на вход счетчика времени. Во время развертки масс-спектра ЭВМ решает задачу определения центров масс-спектральных пиков и привязывает к ним соответствующие временные значения. В результате обработки в реальном масштабе времени и предварительной информации о составе калибровочного вещества и последовательности масс в спектре имеем параметры  $M_i$  и  $t_i$ , позволяющие построить функциональную зависимость  $M = f(t)$  и определить массы путем экстраполяции и интерполяции по спектру. При этом  $M$  можно представить в виде аддитивной смеси полезного сигнала и помехи, т. е.

$$M(\varphi, t) = m(\varphi, t) + S(t), \quad (1)$$

где  $\varphi$  — набор параметров, определяющих закон развертки.

Под помехой  $S(t)$  понимаются, во-первых, все те причины, которые иска- жают развертку масс-спектра (нестабильность источников питания электромагнита, неоднородность магнитного поля, гистерезис, помехи от внешних магнитных полей) и во-вторых, те, которые связаны с погрешностью вычисления центров масс-спектральных пиков и обусловлены ионной статистикой, нестабильностью генератора импульсов, погрешностями счетчика ионов и вычислений [2].

Дополнительный вклад в  $S(t)$  дают пропуски реперных пиков, т. е. нарушения шага между опорными пиками, и ложные реперные пики, обусловленные

наложением пика исследуемого вещества на реперный пик. В первом приближении можно предположить, что случайные колебания развертки представляют собой стационарный случайный процесс с выборочным нормальным законом распределения вероятностей и математическим ожиданием процесса, равным нулю. Ошибки измерения центров пиков также обусловлены влиянием большого числа независимых факторов и поэтому можно считать, что они подчинены нормальному закону распределения. Ложные пики и пропуски пиков случайны и независимы по всему спектру. Таким образом, зависимость  $M = f(t)$  можно отнести к процессу со случайно изменяющимися во времени параметрами.

Представим  $m(\varphi, t)$  в виде

$$m(\varphi, t) = \varphi_0 + \varphi_1 t + \varphi_2 t^2 + \dots + \varphi_k t^k = \sum_{r=0}^k \varphi_r t^r. \quad (2)$$

Найдем оценку математического ожидания функции  $m(\varphi, t)$  по результатам одной реализации на дискретном множестве  $t_1, t_2, \dots, t_n$ . Поскольку случайная функция  $M(f, t)$  распределена нормально, то и  $M(\varphi, t)$  подчинена нормальному закону распределения. В соответствии с методом максимального правдоподобия  $n$ -мерная функция правдоподобия, соответствующаяциальному закону, имеет вид [3]

$$L(m_1, m_2, \dots, m_n / \varphi) = \frac{1}{\sqrt{(2\pi)^n B_{nn}}} \times \\ \times \exp \left\{ -\frac{1}{2|B_{nn}|} \sum_{j=1}^n \sum_{i=1}^n K_{ij} [m_i - M(m_i)] [m_j - M(m_j)] \right\}, \quad (3)$$

где  $(B_{nn})$  — определитель корреляционной матрицы.

$$B_{nn} = \begin{vmatrix} R_{11}R_{12} \dots R_{1n} \\ R_{21}R_{22} \dots R_{2n} \\ \dots & \dots & \dots \\ R_{n1}R_{n2} \dots R_{nn} \end{vmatrix}, \quad (4)$$

где  $R_{ij}$  — корреляционные моменты;  $K_{ij}$  — адьюнкты элементов матрицы;  $M(m_i)$  — математическое ожидание величины  $m_i$ .

Обозначим отклонение приближения  $[m_j - M(m_j)]$  через  $w_j$  и с учетом выражения (2) запишем в виде

$$w_j = m_j - \sum_{r=0}^k \varphi_r t_j^r, \quad (j = 1, 2, \dots, n). \quad (5)$$

Как известно, для нахождения максимума функции  $L(m_1, m_2, \dots, m_n / \varphi)$  необходимо прологарифмировать выражение (3); полученный результат проанализировать по искомым параметрам, а конечное выражение подставить в (5) [3]. В результате система уравнений максимального правдоподобия будет иметь вид

$$\sum_{i=1}^n \sum_{j=1}^n \frac{K_{ij}}{|B_{nn}|} w_j \frac{\partial}{\partial \varphi_p} \sum_{l=0}^k \varphi_l t_i^l = 0. \quad (6)$$

Решение этой системы уравнений дает выражение для оптимальной оценки коэффициентов полинома. При  $R_s(t, t+1) = 0$  и  $\sigma_1^2 = \sigma_2^2 = \dots = \sigma_n^2$  корреляционная матрица превращается в диагональную  $\frac{K_{ij}}{|B_{nn}|} = \frac{1}{\sigma^2}$  при  $i = j$ .

Тогда система (6) принимает вид

$$\sum_{i=1}^n \left( m_i - \sum_{r=0}^k \varphi_r t_i^r \right) \frac{\partial}{\partial \varphi_p} \sum_{l=0}^k \varphi_l t_i^l = 0. \quad (7)$$

Для решения системы уравнений вида (7) необходимо задаться предположением о характере зависимости  $M = f(t)$  с целью выбора аппроксимирующего полинома. Для приближенной оценки зависимости  $M = f(t)$  на масс-спектрометре высокого разрешения MX1310 был снят спектр перфторкеросина. Использовалась развертка вида  $M = M_0 e^{-\alpha t}$ , полученные данные приведены на рис. 1. Коэффициент пропорциональности  $A$  был найден путем аппроксимации зависимости  $\ln M = f(t)$  линейной функции. Из построенных зависимостей видно, что для аппроксимации закона развертки целесообразно использовать полином, содержащий члены первого и второго порядка. Для полинома второй степени вида

$$M_k = M_i e^{a(t_k - t_i) + b(t_k - t_i)^2} \quad (8)$$

система уравнений запишется как

$$\left. \begin{aligned} \sum_{k=1}^n [\ln(M_k/M_i) - a(t_k - t_i) - b(t_k - t_i)^2] (t_k - t_i) &= 0, \\ \sum_{k=1}^n [\ln(M_k/M_i) - a(t_k - t_i) - b(t_k - t_i)^2] (t_k - t_i)^2 &= 0. \end{aligned} \right\} \quad (9)$$

Нахождение оптимальных оценок коэффициентов временного полинома необходимо связать с числом реперных точек, по которым строится интерполяционный полином, т. е. в окончательном виде задача вычисления точных масс может быть сформулирована следующим образом. Необходимо найти такие  $r$  и  $n$ , где  $n$  — число реперных пиков, по которым строится интерполяционный полином, аппроксимирующий зависимость  $\ln M = f(t)$ , а  $r$  — порядок полинома, при котором для любых подряд следующих реперных пиков имеет место

$$\frac{1}{n-r-1} \sum_{i=r+1}^{l+n} [\ln M_i - \varphi_r(t_i)]^2 \approx \sigma^2, \quad (10)$$

где  $\sigma^2$  — требуемая среднеквадратичная погрешность определения массы;  $M_i$  — масса  $i$ -го реперного пика;  $t_i$  — время центра  $i$ -го пика;  $\varphi_r(t_i)$  — значение интерполяционного полинома в точке  $i$ .

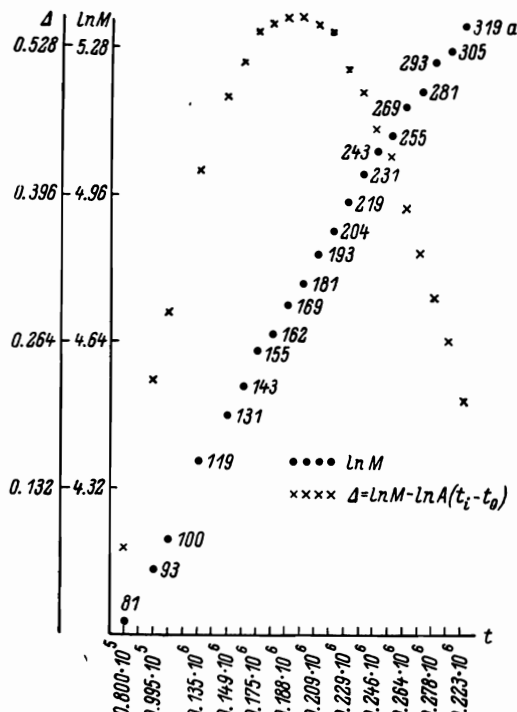


Рис. 1. Зависимость логарифма массы  $\ln M$  от времени  $t = \frac{1}{f} n_i$  ( $f$  — частота опроса,  $n$  — число импульсов).

Проверка выбора  $r$  и  $n$  производилась на ЭВМ. Задавался список точных масс и времен, полученный в результате регистрации спектра калибровочного соединения в цифровом виде. Проверялись процедуры экстраполяции и интерполяции.

В первом случае программа по первым  $n$  пикам  $M_i, M_{i+1}, \dots, M_{i+n}$  вычисляла коэффициенты полинома, массу  $M_{i+n+1}^3$ ,  $\Delta = M_{(i+n+1)}^r - M_{(i+n+1)}^3$ ;  $\delta M = \frac{\Delta}{M_{(i+n+1)}^r}$ . Далее из списка опорных пиков исключался первый пик  $M_i$ , коэффициенты вычислялись по  $M_{i+1}, M_{i+2}, \dots, M_{i+n+1}$  и проводилась экстраполяция в  $M_{i+n+2}$  пик и т. д. (Здесь  $M_i^3$  — экстраполированное,  $M^r$  — теоретическое значение массы  $i$ -го пика).

Исследовались полиномы вида (8) до 5-й степени включительно, число опорных точек менялось от 3 до 6 для процедуры экстраполяции, проводилась также оценка влияния пропуска репера на погрешность  $\Delta M$ . В процедуре интерполяции исследовались те же полиномы и влияние длины участка на точность вычисления масс.

На основании сравнения  $\Delta M$  для процедур экстраполяции и интерполяции были выбраны  $n=5$ ,  $r=2$ . Причем пики репера следовали подряд, а вычисление точных масс на каждом шаге программы интерполяции производилось на центральном участке интервала. Для полинома вида (8) средняя относительная погрешность вычисления масс (интерполяция) равна примерно  $4 \cdot 10^{-6}$ .

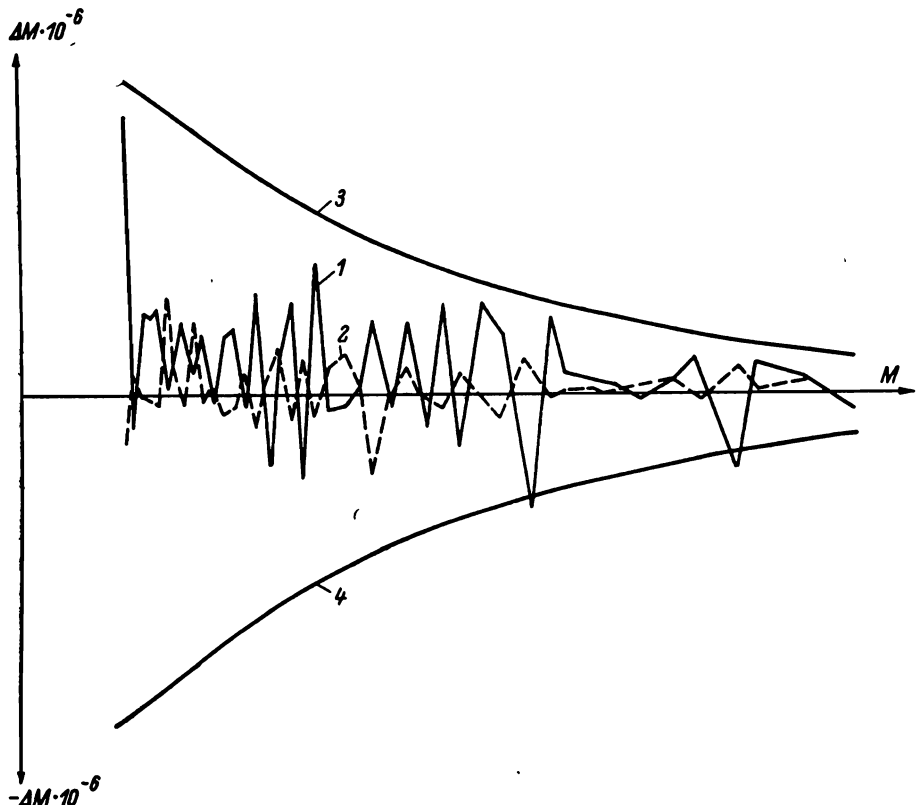


Рис. 2. Характеристика погрешности вычисления масс в процедуре экстраполяции (1) и интерполяции (2). Кривые 3 и 4 ограничивают область допустимой ошибки.

Результаты экстраполяции и интерполяции (рис. 2) показывают, что при  $n=5$  и  $r=2$  обеспечивается необходимая точность определения масс ионов. При снятии спектров смеси калибровочного и исследуемого вещества в систему уравнений вида (9), решаемую методом наименьших квадратов, подставляются кандидаты на очередной репер, лежащие в стробе «грубой» массы  $\Delta M = \pm(0.5 \div 1)$  а. е. м. С этой целью в алгоритме используются показания от датчика измерения массовых чисел прибора. В результате отбирается кандидат, давший наименьшее среднеквадратичное отклонение при решении системы вида (9).

С целью повышения точности определения масс была исследована возможность прогнозирования ошибки вычисления при процедуре экстраполяции. Ошибку вычисления массы реперного пика (рис. 2, кривая 1) можно рассматривать в качестве временного ряда значений  $\Delta M_i = x_i$ , оценить который можно с помощью математического ожидания

$$x = \frac{1}{N} \sum_{i=1}^N x_i; \quad i = 1, 2, \dots, N, \quad (11)$$

дисперсии  $D$

$$D = \frac{1}{N-1} \sum_{i=1}^N (x_i - \bar{x})^2 \quad (12)$$

и нормированной корреляционной функции

$$\overline{K_x} = \frac{\sum_{i=1}^{N-\tau} x_i x_{i+\tau} - \frac{1}{N-\tau} \sum_{i=1}^{N-\tau} x_i \sum_{i=\tau+1}^N x_i}{\sqrt{\left( \sum_{i=1}^{N-\tau} x_i^2 - \frac{1}{N-\tau} \sum_{i=\tau+1}^N x_i \right)^2 \left( \sum_{i=\tau+1}^N x_i^2 - \frac{1}{N-1} \sum_{i=\tau+1}^N x_i \right)^2}}, \quad (13)$$

где  $\tau$  — интервал корреляции.

Процедура прогнозирования строилась на основании процесса авторегрессии, модель которого записывается в виде [4]

$$\widetilde{\Delta x}_t = \varphi_1 \widetilde{\Delta x}_{t-1} + \varphi_2 \widetilde{\Delta x}_{t-2} + \dots + \varphi_p \widetilde{\Delta x}_{t-p} + a_t, \quad (14)$$

где  $\varphi_1, \varphi_2, \dots, \varphi_p$  — весовые параметры,  $\tilde{\Delta x}_t = x_t - \hat{x}_t$ . Умножение (14) на  $\tilde{\Delta x}_{t-k}$  и переход к математическим ожиданиям дает

$$\gamma_k = \varphi_1 \gamma_{k-1} + \varphi_2 \gamma_{k-2} + \dots + \varphi_p \gamma_{k-p}, \quad k > 0, \quad (15)$$

где  $\gamma_k = M[(x_t - \bar{x})(x_{t+k} - \bar{x})]$ .

Деление (15) на  $\gamma_0 = \sigma^2$  дает следующее рекуррентное соотношение для автокорреляционной функции стационарного процесса авторегрессии:

$$K = \varphi_1 K_{k-1} + \varphi_2 K_{k-2} + \dots + \varphi_p K_{k-p}, \quad k > 0. \quad (16)$$

Подстановка значений  $k = 1, 2, \dots, p$  в (16) дает систему линейных уравнений, из которых можно найти параметры авторегрессии, выраженные через автокорреляции [5]:

$$\left. \begin{aligned} K_1 &= \varphi_1 + \varphi_2 K_1 + \dots + \varphi_p K_{p-1}, \\ K_2 &= \varphi_1 K_1 + \varphi_2 K_2 + \dots + \varphi_p K_{p-2}. \\ &\dots \dots \dots \dots \dots \dots \dots \dots \\ K_p &= \varphi_1 K_{p-1} + \varphi_2 K_{p-2} + \dots + \varphi_p, \end{aligned} \right\} \quad (17)$$

или в матричном обозначении:

$$\varphi = \begin{bmatrix} \varphi_1 \\ \varphi_2 \\ \vdots \\ \varphi_p \end{bmatrix}; \quad K_p = \begin{bmatrix} K_1 \\ K_2 \\ \vdots \\ K_p \end{bmatrix}; \quad P_p = \begin{bmatrix} K_0 & K_1 & \cdots & K_{p-1} \\ K_1 & K_0 & \cdots & K_{p-2} \\ \vdots & \vdots & \ddots & \vdots \\ K_{p-1} & K_{p-2} & \cdots & K_0 \end{bmatrix} \quad (18)$$

и выражения для параметров через автокорреляции записываются в виде

$$\varphi = P_p^{-1} K_{p^*} \quad (19)$$

Считаем, что нам известны значения корреляционной функции, вычисленные по значениям ряда  $\Delta M_i = x_i$  и выражению (13).

Ограничиваюсь тремя первыми членами уравнения (14), можно получить

$$\Delta x_{i+3} = \Delta x_i \frac{\Delta_1}{\Delta} + \Delta x_{i+1} \frac{\Delta_2}{\Delta} + \Delta x_{i+2} \frac{\Delta_3}{\Delta}, \quad (20)$$

где  $\Delta$ ,  $\Delta_1$ ,  $\Delta_2$ ,  $\Delta_3$  — соответствующие определители для системы (18) при  $p = 3$ .

Для временного ряда ошибок (рис. 2, кривая 1) было вычислено математическое ожидание  $\bar{x}$ , 32 значения  $(x_i - \bar{x}) = \Delta x$  (рис. 3, кривая 1) и по выражению (12)

дисперсия  $D_1$ . По значениям ряда  $x_i$  с использованием выражения (13) были рассчитаны значения корреляционной функции, представленной на рис. 4. Точные значения первых четырех  $K$  ( $K_0 \dots K_3$ ) использовались для расчета  $\Delta$ ,  $\Delta_1 \dots \Delta_3$

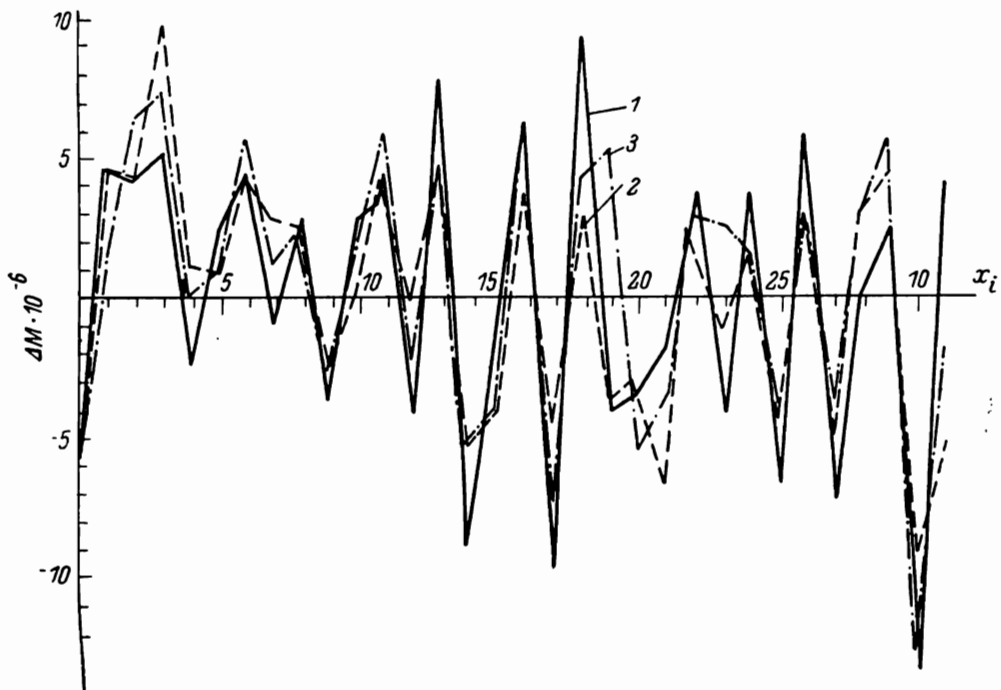


Рис. 3. Погрешность вычисления масс при процедуре экстраполяции (1), то же с учетом прогноза, т. е. процесса авторегрессии, (2) и с учетом прогноза  $x'_{i+1} = x_{i+1} - K_x x_i$  (3).

системы (18) и параметров  $\varphi$  ( $\varphi_1 \dots \varphi_3$ ). Полученные значения введены в уравнение (20) и рассчитаны 29 значений  $\Delta x_{i+3}$ .

Результирующая ошибка в определении массы с учетом прогноза приведена на рис. 3 (кривая 2). Дисперсия в ряде ошибок с учетом прогноза в 2 раза ме-

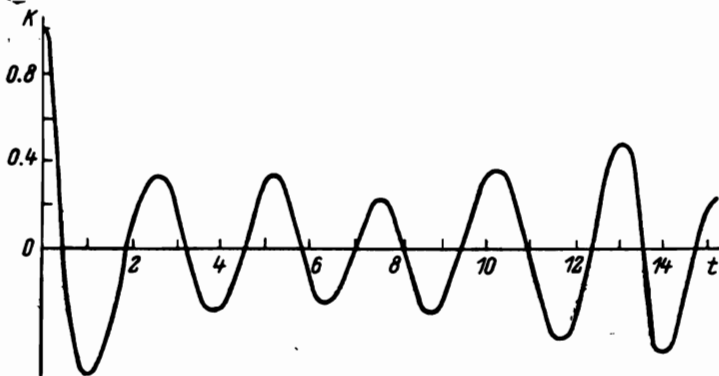


Рис. 4. Корреляционная функция  $K$  временного ряда ошибок вычисления массы (процедура экстраполяции).

ньше  $D_1$ . В 21 случае из 29 прогноз дал уменьшение ошибки вычисления массы, в 2 случаях ошибки оказались равными, в 6 случаях (из них 3 относятся к первым значениям) ошибка увеличилась. Учет прогноза с использованием выражения  $x'_{i+1} = x_{i+1} - K_x x_i$ , где  $K_x = K_1 = 0.5$ , дает дисперсию полученного ряда в 1.4 раза меньше  $D_1$  (рис. 3, кривая 3).

Таким образом, применение прогноза по временному ряду ошибок в определении  $M$  дает дополнительные возможности в уменьшении погрешности вычисления масс в процессе экстраполяции.

Полученные результаты положены в основу алгоритма обработки в СОИ к масс-спектрометру MX1310. Результаты снятия спектров на комплексе MX1310—СОИ в ряде институтов АН СССР показали, что обеспечивается определение масс ионов в диапазоне  $12\text{--}1000$  а. е. м. с относительной погрешностью не более  $5 \cdot 10^{-6}$ .

Достижение указанной точности вычисления масс ионов позволило производить автоматическое определение масс (табл. 1) и элементного состава для отдельных ионов в спектре (табл. 2). Спектр был снят на комплексе, установленном в Институте химии растительных веществ АН УзССР.

Таблица 1

Точные массы ионов спектра  $C_{32}H_{44}N_2O_8$

Состав иона	Масса		$\Delta M \cdot 10^{-5}$	$(\frac{\Delta M}{M}) \cdot 10^{-6}$
	теоретическая	вычисленная		
$C_8H_9O_2$	137.06025	137.06072	47	3
$C_9H_8NO_2$	146.02420	146.02462	42	3
$C_9H_7O_2N$	161.04767	161.04816	49	3
$C_{11}H_{16}N_1O_4$	178.12318	178.12392	74	4
$C_{16}H_{32}NO_3$	276.15996	276.16000	4	0.1
$C_{21}H_{31}NO_3$	345.23038	345.22899	139	4
$C_{22}H_{32}NO_4$	374.23312	374.23463	151	4
$C_{22}H_{33}NO_5$	390.22803	390.22786	17	1
$C_{22}H_{34}NO_5$	392.24368	392.24234	130	3
$C_{23}H_{35}NO_5$	405.25158	405.25258	100	3
$C_{30}H_{39}N_2O_6$	523.28076	523.28038	38	1
$C_{31}H_{41}N_2O_7$	553.29130	553.28980	150	3

Таблица 2

Элементный состав ионов в спектре  $C_{32}H_{44}N_2O_8$

$M$	C	H	N	O	$^{13}C$	Примечание
137	6	7	3	1	0	
	2	9	1	4	2	
	8	9	0	2	0	!
178	11	16	1	1	0	!
	1	17	4	5	1	
	3	19	1	6	1	
	8	14	3	0	2	
	4	15	5	2	1	
390	14	30	5	6	2	
	20	30	4	4	0	
	22	32	1	5	0	!
	17	28	6	3	2	
	23	28	5	1	0	

В графе «Примечание» восклицательным знаком отмечен наиболее вероятный состав.

ЛИТЕРАТУРА

1. Biemann K., Bommery P., Desiderio D., McMurray W. J. — In: Advances in Mass Spectrometry. London, 1968, v. 4, p. 139.
2. Raznikov V. V., Dodonov A. F., Lanin E. V. — Int. J. Mass Spectrom. Ion Phys., 1977, N 25, p. 295.
3. Левин Б. Р. Теоретические основы статистической радиотехники. М., 1969.
4. Бокс Дж., Дженкинс Г. Анализ временных рядов. М., 1974, т. 1.
5. Хеннан Э. Многомерные временные ряды. М., 1974.